

巴戟天与常见混伪品的 rDNA-ITS 序列分析及其分子鉴定

丁 平, 方 琴

(广州中医药大学中药学院, 广东 广州 510405)

摘要: 目的 比较巴戟天与常见混伪品之间的 rDNA-ITS 碱基序列的差异及其规律, 同时为巴戟天及混伪品的指纹图谱鉴别提供分子标记。方法 对巴戟天及其常见混伪品的 rDNA-ITS 进行了 PCR 扩增、测序, 并运用 CLUSTAL X、MEGA 软件对该区进行序列分析。结果 测定了巴戟天及其混伪品的 rDNA-ITS 区序列, 包括 ITS1、5.8S 和 ITS2 全长序列以及 18S、26S 部分序列。巴戟天与假巴戟天、羊角藤在 ITS1 和 ITS2 区的差异性分别为 2.9%~5.8% 和 2.9%~4.2%, 而与虎刺在 ITS1 和 ITS2 区的差异性则为 21.2% 和 18.9%。根据 ITS 序列特征构建的系统树, 混伪品假巴戟天与羊角藤首先聚类, 然后与巴戟天聚在一起, 而虎刺则单独聚为一支。结论 rDNA-ITS 序列可作为巴戟天与混伪品的一种较好的分子指纹图谱的标记方法。

关键词: 巴戟天; 混伪品; 核糖体 DNA 内转录间隔区

中图分类号: R282.710.3 文献标识码: A 文章编号: 0253-2670(2005)06-0908-04

Ribosomal DNA-ITS sequence analysis and molecular identification of *Morinda officinalis* and its counterfeit species

DING Ping, FANG Qin

(College of Chinese Materia Medica, Guangzhou University of Traditional Chinese Medicine, Guangzhou 510405, China)

Abstract: Objective To compare the rDNA-ITS differentiation and its regulation between *Morinda officinalis* and its counterfeit species, and provide DNA molecular markers for the fingerprint identification of them. **Methods** The rDNA-ITS regions of *M. officinalis* and its counterfeit species were amplified and sequenced, then analyzed by means of CLUSTRAL X and MEGA softwares. **Results** The internal transcribed spacers (ITS) including ITS1, 5.8S, ITS2, and partial 18S and 26S were determined. In DNA DIST analysis, the range of diversity among *M. officinalis* and *M. shughuaeensis*, *M. umbellata* was 2.9%~5.8% and 2.9%~4.2% based on ITS1 and ITS2; the range of diversity between *M. officinalis* and *Damnacanthus indicus* was 21.2% and 18.9% based on ITS1 and ITS2. Phylogenetic tree based on ITS and 5.8S sequence data indicated the *M. umbellata* and *M. shuanghuaensis* were closely related then with *M. officinalis*, while *D. indicus* was monophyletic group. **Conclusion** The rDNA-ITS sequence is a better molecular marker for identification of *M. officinalis* and its counterfeit species.

Key words: *Morinda officinalis* How; counterfeit species; ribosomal DNA-internal transcribed spacers (rDNA-ITS)

巴戟天别名鸡肠风(广东、广西)、鸡眼藤、黑藤钻、糠藤、三角藤(广西)、兔儿肠、兔仔肠、猫肠筋(福建)。巴戟天为常用中药, 是著名的“四大南药”之一。《中华人民共和国药典》收载的巴戟天来源于茜草科巴戟天属植物巴戟天 *Morinda officinalis* How 的根, 具有补肾壮阳、强筋骨、祛风湿之功效。其主要活性成分为蒽醌、环烯醚萜类、低聚糖、多糖等^[1]。巴戟天属(*Morinda* Linn.)植物在全世界约有 100 种, 分

布于热带、亚热带和温带地区, 尤以亚洲和大洋洲最多, 美洲和非洲有少数。我国产约 26 种、6 变种, 分布于西南部到东南部, 以及台湾和香港地区^[2]。由于近几年巴戟天有效成分的深入研究, 巴戟天作为药食两用的资源得到了广泛的开发和利用。但由于栽培与种植仍满足不了目前的需求, 市场上屡屡出现混伪品, 如假巴戟天、羊角藤、虎刺等, 这些药材和原植物在外形上与巴戟天极为相近, 尤其是同属的假

巴戟天、羊角藤,更是容易以假乱真,因此,解决中药材的来源问题仍是目前急需解决的问题,也是中药走向现代化的瓶颈问题。而近几年分子生物学中DNA分子遗传标记技术的研究则为解决该问题提供了客观而有效的手段。DNA分子标记技术用于中药材鉴定和品质评价等方面的研究已有很多的报道,关于植物核糖体DNA中的内转录间隔区(ITS)序列测定已广泛用于中药材近缘属间,属内以及种内居群间的差异性研究^[3,4]。但在巴戟天属植物中尚未见有这些方面的研究,因此本研究通过对rDNA-ITS序列差异分析,对巴戟天及其近缘植物和常见混伪品的遗传关系作深入的研究,并为制定巴戟天分子指纹图谱以及准确进行巴戟天及混伪品的鉴别提供客观依据。

1 材料与方法

1.1 材料:材料来源见表1,所有材料均为新鲜叶片,以硅胶干燥,笔者经形态鉴定确定其学名。

1.2 DNA提取和检测:参照Plant DNA Isolation Kit实验步骤改进,具体如下:植物叶片经蒸馏水洗净后剪碎,在钵体中用液氮冷却碾碎成细粉。取100 mg加入6倍预热至60℃的CTAB提取缓冲液,10 μL蛋白酶K,4 μL核糖核酸酶A及10 μL 2-ME水浴温育30 min。加入等体积抽提液氯仿-异丙醇(24:1)抽提,15 000×g离心10 min。取上清液加2/3体积的异丙醇及1/10体积的3 mol/L NaAc,完全混匀,0℃放置20 min,以10 000×g离心10 min,弃上清液,用80%和70%乙醇洗DNA两次,室温干燥30 min,加适量TE缓冲液溶解DNA,存于4℃待用。取5 μL提取的DNA于0.8%琼脂糖凝胶(含1 μg/mL EB)上,用0.5×TBE电泳缓冲液在10 V/cm电泳1 h后,琼脂糖凝胶外的DNA谱带通过EB染色后,在紫外光(254 nm)下观察抽提结果。

1.3 ITS1和ITS2的扩增、纯化和测序:扩增ITS序列引物依据文献设计^[5,6]。引物序列为:正向AGA AGT CGT AAC AAG GTT TCC GTA GG,反向TCC TCC GCT TAT TGA TAT GC。ITS整段扩

增,或分别扩增ITS1和ITS2,分别扩增时使用1对内引物,分别为:正向GCA TCG ATG AAG AAC GCA GC,反向GAT GCG AGA GCC GAG ATA TCC GTT。取约10 ng样品DNA,加入0.2 mmol/L dNTPs,0.2 μmol/L引物,1.5 mmol/L MgCl₂,1 U Taq DNA聚合酶(上海生工公司)及1×缓冲液,加入ddH₂O使总体积为20 μL,置于PE480型PCR扩增仪中,94℃、1 min 45 s后,按下列参数进行40个循环:94℃、30 s,45℃、30 s,72℃、30 s,最后72℃、7 min。用1.5%琼脂糖凝胶(含1 μg/mL EB)电泳检测PCR扩增产物。在胶中回收、纯化PCR扩增片段(胶回收试剂盒,上海生工公司)或PCR产物直接纯化(PCR产物纯化试剂盒,上海生工公司)后,用四色荧光标记的双脱氧链中止法测序(PE-ABI 377全自动测序仪,上海鼎安生物科技有限公司),为保证序列的准确性,用2次PCR产物测序或用反向引物再测。

1.4 序列分析和系统发育树构建:所得序列用CLUSTAL X(Version 1.8)同源对齐,必要时用手工排序;ITS1和ITS2的位置参照其二级结构和文献确定^[6]。用MEGA(Version 2.1)分别计算各样品ITS序列的差异性(Kimura 2-parameter),用最大简约法(maximum parsimony, MP)和邻接法(neighbor-joining, NJ)构建系统发育树,并以bootstrap作100次可信度分析。将序列鉴定结果与形态鉴定结果核对,确认后在GenBank登记注册,其注册登记号见表1。

2 结果

本研究测得巴戟天属3种植物和虎刺属一种常见混伪品的片段包括ITS1,5.8S和ITS2全长序列以及18S,26S部分序列,长度为691~700 bp。从图1中可见,部分18S,26S序列长度分别为61和68 bp,5.8S全长为131 bp,编码区序列严格保守,而ITS1和ITS2序列长度和碱基组成随种类不同而有差异,ITS1和ITS2长度和GC含量详见表1和图1。

本研究中巴戟天及其常见混伪品的ITS1和

表1 巴戟天及其3种混伪品ITS1和ITS2序列G+C含量、长度及在GenBank的注册登记号

Table 1 G+C contents and lengths of ITS1 and ITS2 of *M. officinalis* and three counterfeit species and their registered numbers in GenBank

名称	凭证标本	产地	采集期	ITS1		ITS2		注册登记号
				长度/bp	G+C/%	长度/bp	G+C/%	
巴戟天 <i>M. officinalis</i>	2001	广东德庆	2003-08-20	181	69.61	255	69.02	AY514063
假巴戟天 <i>M. shuanghuaensis</i>	2501	广东从化	2003-07-25	180	70.00	255	69.02	AY514062
羊角藤 <i>M. umbellata</i>	2601	广州华南植物所	2003-09-26	180	70.55	260	69.62	AY514060
虎刺 <i>D. indicus</i>	2602	广州华南植物所	2003-09-26	181	62.98	250	68.80	AY514061

*18S

*ITS1

2601 AGAAGTCGTA ACAAGGTTTC CGTAGGTGAA CCTGCGGAAG GATCATTGTC GAATCTGCC CGA-CGAACG ACCGCGAAC
 2501 AGAAGTCGTA ACAAGGTTTC CGTAGGTGAA CCTGCGGAAG GATCATTGTC GAATCTGCC CGA-CGAACG ACCGCGAAC
 2001 AGAAGTCGTA ACAAGGTTTC CGTAGGTGAA CCTGCGGAAG GATCATTGTC GAATCTGCC CGAACAAACG ACCGCGAAC
 2602 AGAAGTCGTA ACAAGGTTTC CGTAGGTGAA CCTGCGGAAG GATCATTGTC GAATCTGCC CTAGCAGACC ACTGCGAAC
 CGTTGA-ACA ACCGCCGGGC GCGGGCGGGC GCGGGAGACC CGGCCGTCG GCTGCCGAG CCCAACTTAA CTCCCGGGCG
 CGTTGA-ACA ACCGCCGGGC GCGGGCGGGC GCGGGAAACC CTGCCGTCG GCTCCCCGAG CCCAACTTAA CTCCCGGGCG
 CGTTGA-ACA ACTGCCGGGC GCGGGCGGGC GCGGGAAACC CGGCCGCG GCTCCCCGAG CCCAACTTAA CTCCCGGGCG
 CGTTAACGAA ACTGCCGGAC GCGGGCGGGC GCGGGAAACC CGGCCGTCG GCTCCCCA- CAAAACCAAA CTATGGCAC
 GGAATGCC AAGGAATACT CAAACGGATG GCGGCCGCC CTGCCGCTTC CGCGGGCGA GCGAGCGTC TGATCGTTA
 GGAATGCC AAGGAATACT CAAACGGATG GCGGCCGCC CGGCCGCTTC CGCGGGCGA GCGAGCGTC TGATCGTTA
 GGAATGCC AAGGAATACT CAAACGGATG GCGGCCGCC CGGCCGCTTC CGCGGGCGA GCGAGCGTC TGATCGTTA
 GGAATGCC AAGGAATACT CAAACGGATG GCGGCCGCC CGGCCGCTTC CGCGGGCGA GCGAGCGTC TGATCGTTA

*5.8S

ACCAAAACGA CTCTCGGCAA CGGATATCTC GGCTCTCGCA TCGATGAAGA ACGTAGCGAA ATGCGATACT TGGTGTGAAT
 ACCAAAACGA CTCTCGGCAA CGGATATCTC GGCTCTCGCA TCGATGAAGA ACGTAGCGAA ATGCGATACT TGGTGTGAAT
 ACCAAAACGA CTCTCGGCAA CGGATATCTC GGCTCTCGCA TCGATGAAGA ACGTAGCGAA ATGCGATACT TGGTGTGAAT
 ACCAAAACGA CTCTCGGCAA CGGATATCTC GGCTCTCGCA TCGATGAAGA ACGTAGCGAA ATGCGATACT TGGTGTGAAT

*ITS2

TGCAGAACATCC CGTGAACCAT CGAGTTTTG AACGCAAGTT GCGCCCGAAG CCATTAGGCC GAGGGCACGT CTGCCCTGGGC
 GTCAACGCATC CGCTCGCGC CCCCTCTCG CCCTAGAAAT TCGGACGGAC GGGGGTGACG GAAAGTGGCC TCCCGTGC
 GTCACGCATC CGCTCGCCAC CCCCTCTCG CCCTAGAAAT TCGGACGGAC GGGGGTGACG GATGTTGGCC TCCCGTGC
 GTCACGCATC GNGTCGCCAC CCCCTCTCG CCTTAGGAAT TCGGACGGGC GGGGGTGACG GATGTTGGCC CCCCGTGC
 GTCACGCACC CGCTCGTCAC CCCC—CA CGCTCCGGTC ACGGGCCGAC GGGGATGACG GATATTGGCC TCCCGTGC
 TCGOGGCGCG GCGGGCTAA ACGCGAGTCC CGGGCCGGG ACGTCACGAC GAGTGGTGGT TGAACCCCTTC AACTCGAGAG
 CGCGGGCGCG GCGGGCTAA ATGCGAGTCC TCGGCCGGG ACGTCACGAC GAGTGGTGGT TGAACCCCTTC AACTCGAGAG
 TCGOGGCGCG GCGGGCTAA ATGCGAGTCC TCGGCCGGG ACGTCACGAC GAGTGGTGGT TGAACCCCTTC AACTCGAGAG
 CGTGGCGCG GCGGGCTAA ACGCGAGTTC CGGGCACGGG ACGTCACGAC GAGTGGTGGT TGAACCTGCTC AACACGATTG

*26S

CGTGCAGAC GACGCCGAC GGGAACTCT AACGACCTA GGGCTATCGG CCCCTCTCG AGAGGAGCG CGAGCCTTC
 CGTGCAGAC GACGCCGAC GGGAACTCT AACGACCTA GGGCTATCGG CCCC—G AGAGGAGCG CGAGCCTTC
 CGTGCAGAC GACGCCGAC GGGAACTCT AACGACCTA GGGCTATCGG CCCC—G AGAGGAGCG CGAGCCTTC
 CTGTCGGAC GACGCCGAC GGGGA-CTCT AACGACCTA GAGACGACGG CCCC—G AAAGGAGTC CGATCCTTC
 ACGCGACCC CAGGTCAGGC GGGATTACCC GCTGAGTTA AGCATATCAA TAAGCGGAGG AA
 ACGCGACCC CAGGTCAGGC GGGATTACCC GCTGAGTTA AGCATATCAA TAAGCGGAGG AA
 ACGCGACCC CAGGTCAGGC GGGATTACCC GCTGAGTTA AGCATATCAA TAAGCGGAGG AA
 ACGCGACCC CAGGTCAGGC GGGATTACCC GCTGAGTTA AGCATATCAA TAAGCGGAGG AA

图 1 巴戟天及其常见混伪品的 ITS 序列排列

Fig. 1 Aligned ITS sequences of *M. officinalis* and its counterfeit species

ITS2区序列差异性见表2。表中ITS1和ITS2的差异性范围分别为2.9%~26%,2.9%~18.9%,差异最小的均为2601与2501之间,差异最大的出现在2602与其他3种之间。

表2 巴戟天及其混伪品rDNA-ITS序列的差异

Table 2 Diversity of rDNA-ITS sequence between *M. officinalis* and its counterfeit species

标本	2601	2501	2001	2602
2601		0.029	0.042	0.183
2501	0.029		0.029	0.189
2001	0.058	0.052		0.189
2602	0.260	0.251	0.212	

*下三角为ITS1的差异性,上三角为ITS2的差异性

* down triangle is diversity of ITS1, up triangle is diversity of ITS2

根据序列特征用几种方法构建的系统发育树结果一致,bootstrap可信度分析在82%以上(图2)。混伪品假巴戟天与羊角藤首先聚类,然后与巴戟天聚在一起,而虎刺则单独聚为一支,这与传统分类结果相一致,巴戟天与混伪品假巴戟天、羊角藤均为巴戟天属植物。而虎刺为虎刺属植物,与巴戟天的亲缘关系最远。

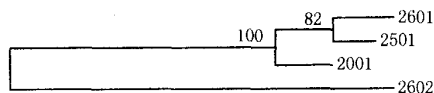


图2 巴戟天及其常见混伪品的系统发育树
(分支上数值为靴带可信度)

Fig. 2 Dendrogram of *M. officinalis* and its counterfeit species (Numbers above branch are bootstrap percentages values by replication)

3 讨论

在本研究中,由于巴戟天含有较多的植物多糖成分,在DNA提取过程中存在一定的困难,笔者改进方法,用多种极性大的溶剂去除糖分,从新鲜植物叶片中提取到了较高质量的总DNA。利用通过引物进行PCR扩增,可得到预期的rDNA-ITS片段。同时因高等植物rDNA-ITS区的拷贝数极多,在使用过程中不易受材料总DNA降解的影响,因此利用该方法较易提取到稳定的DNA产物。

经过rDNA-ITS基因测序表明,ITS1和ITS2区的长度分别为:巴戟天181、255 bp,假巴戟天180、255 bp,羊角藤为180、260 bp,虎刺为181、250

bp。因所见混伪品中假巴戟天、羊角藤为巴戟天同属的植物,差异较小(ITS1:2.9%~5.8%和ITS2:2.9%~4.2%)。而虎刺则为虎刺属(*Damnacanthus Gaertn. f.*)的植物,差异较大(ITS1:21.2%~26%和ITS2:18.3%~18.9%)。根据rDNA-ITS的序列比较可看出,巴戟天及其以上几种常见的混伪品在rDNA-ITS序列中存在较大的差异,且这种差别具有较好的稳定性,并且通过以嫩叶反复测定后得到验证,结果准确可靠。通过这些序列差异比较表明,rDNA-ITS序列能较好地反映出巴戟天及其混伪品种间的差异,因此可利用该方法找出一种较好的分子指纹图谱鉴别标记特征,以用于巴戟天及其常见混伪品的准确鉴定。在应用过程中可将以上序列作为一个标准对照,输入计算机库中,利用巴戟天以其伪品的序列数据库及遗传分析软件,通过待检药材的rDNA-ITS区序列测定,与计算机数据库中巴戟天及其常见混伪品的rDNA-ITS区全序列进行分析比较,只要所测基因序列与已知对照序列相一致,就可以成功鉴别巴戟天及其混伪品的品种。

虽然DNA测序技术操作复杂,但稳定性好,准确性高,且具有较好的重现性,因此作为中药材真伪鉴别的指纹图谱分子标记方法,具有客观和实用的特点,并且随着DNA测序成本的降低,此方法将会进一步得到推广和应用。

References:

- [1] Yoshikawa M, Yamaguchi S, Nishisaka H, et al. Chemical constituents of Chinese natural medicine, *Morindae Radix*, the dried roots of *Morinda officinalis* How: Structures of morindolide and morofficinaloside [J]. *Chem Pharm Bull*, 1995, 43(9): 1462-1465.
- [2] Delectis Florae Reipublicae Popularis Sinicae, Agendae Academiae Sinicae Edita. *Flora Reipublicae Popularis Sinicae* (中国植物志)[M]. Tomus 71(2). Beijing: Science Press, 1999.
- [3] Zao Z L, Zhou K Y, Dong H, et al. Characters of nrDNA ITS region sequences of fruits of *Alpinia galanga* and their adulterants [J]. *Planta Med*, 2001: 67-68.
- [4] Ding X Y, Wang Z T, Xu H, et al. Database establishment of the whole rDNA ITS region of *Dendrobium* species of "Fengdou" and authentication by analysis of their sequences [J]. *Acta Pharm Sin* (药学学报), 2002, 37(7): 567-573.
- [5] Takaiwa T J, Oono K, Sugiyama M. Nucleotide sequence of the 17S-25S spacer region from rice rDNA [J]. *Plant Mol Biol*, 1985, 4: 355-359.
- [6] White T J, Bruns T, Lee S, et al. *Amplification and Direct Sequencing of Fungal Ribosomal RNA Genes for Phylogenetics* [M]. California: Academic Press, 1990.